

Eingabe: Farbmétrisches Offset-Reflektiv-System ORS18

für Buntton $h^* = l a h^* h = 38/360 = 0,105$

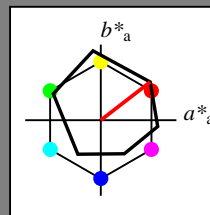
lab*tch und lab*nch

D65: Buntton O

LCH*Ma: 48 83 38

olv*Ma: 1.0 0.0 0.0

Dreiecks-Helligkeit t^*



%Umfang

$$\mathbf{u}_{\text{rel}}^* = 93$$

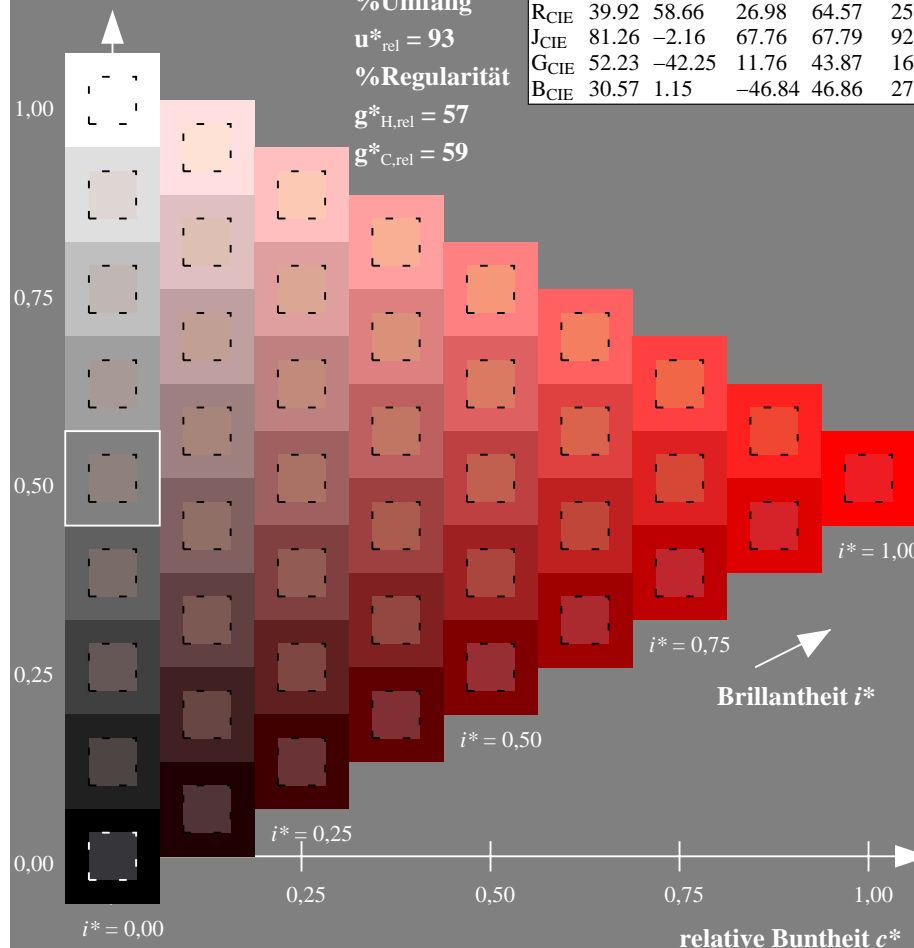
%Regularität

$$g^*_{H_{rel}} = 57$$

g*_{C rel} = 59

100

| | $L^* = L_a^*$ | a^*_a | b^*_a | $C^*_{ab,a}$ | $h^*_{ab,a}$ |
|------------------|---------------|---------|---------|--------------|--------------|
| O _{Ma} | 47.94 | 65.39 | 50.52 | 82.63 | 38 |
| Y _{Ma} | 90.37 | -10.26 | 91.75 | 92.32 | 96 |
| L _{Ma} | 50.9 | -62.83 | 34.96 | 71.91 | 151 |
| C _{Ma} | 58.62 | -30.34 | -45.01 | 54.3 | 236 |
| V _{Ma} | 25.72 | 31.1 | -44.4 | 54.22 | 305 |
| M _{Ma} | 48.13 | 75.28 | -8.36 | 75.74 | 354 |
| N _{Ma} | 18.01 | 0.0 | 0.0 | 0.0 | 0 |
| W _{Ma} | 95.41 | 0.0 | 0.0 | 0.0 | 0 |
| R _{CIE} | 39.92 | 58.66 | 26.98 | 64.57 | 25 |
| J _{CIE} | 81.26 | -2.16 | 67.76 | 67.79 | 92 |
| G _{CIE} | 52.23 | -42.25 | 11.76 | 43.87 | 164 |
| B _{CIE} | 30.57 | 1.15 | -46.84 | 46.86 | 271 |



ZG730-7F, 9stufige Reihen für konstanten CIELAB Buntton $38/360 = 0.105$ (links)

Seite 1/10

BAM-Prüfvorlage ZG73: Farbmimetrik-Systeme. Seite 1/10

D65: 9 und 16stufige Farbreihen für 10 Bunttöne

Ausgabe: Farbmétrisches Offset-Reflektiv-System ORS18

für Buntton $h^* = lab^*h = 38/360 = 0,105$

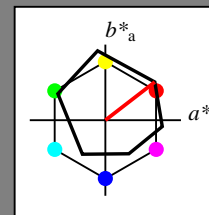
lab*tch und lab*nch

D65: Buntton O

LCH*Ma: 48 83 38

olv*Ma: 1.0 0.0 0.0

Dreiecks-Helligkeit t^*



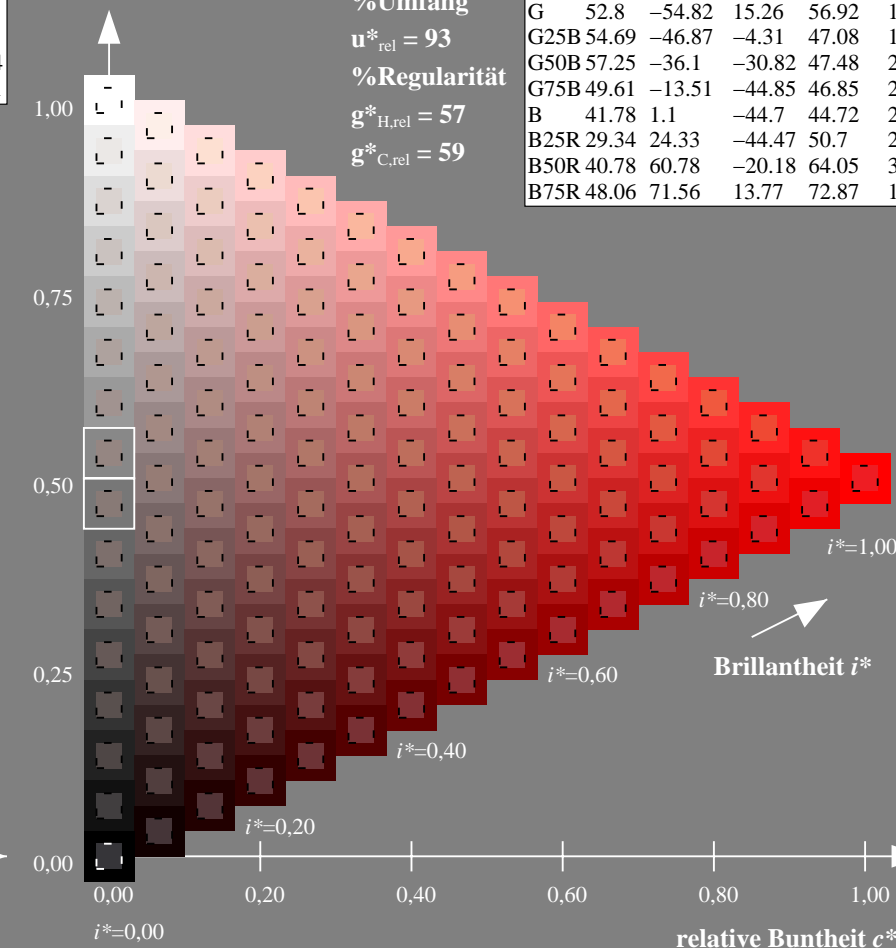
%Umfang

$$\mathbf{u}_{\text{rel}}^* = 93$$

%Regularität

$$g^*_{H_{rel}} = 57$$
$$\mathbf{g}_{\text{C rel}}^* = 59$$

| ORS18; adaptierte CIELAB-Daten | | | | | |
|--------------------------------|---------|---------|---------|--------------|--------------|
| | L^*_a | a^*_a | b^*_a | $C^*_{ab,a}$ | $h^*_{ab,a}$ |
| R | 48.0 | 68.58 | 31.54 | 75.48 | 25 |
| R25J | 50.11 | 61.52 | 52.63 | 80.96 | 41 |
| R50J | 62.87 | 38.77 | 65.02 | 75.71 | 59 |
| R75J | 74.87 | 17.37 | 76.69 | 78.63 | 77 |
| J | 86.19 | -2.8 | 87.69 | 87.73 | 92 |
| J25G | 84.01 | -18.73 | 82.6 | 84.7 | 103 |
| J50G | 71.17 | -35.83 | 64.13 | 73.46 | 119 |
| J75G | 56.99 | -54.71 | 43.72 | 70.05 | 141 |
| G | 52.8 | -54.82 | 15.26 | 56.92 | 164 |
| G25B | 54.69 | -46.87 | -4.31 | 47.08 | 185 |
| G50B | 57.25 | -36.1 | -30.82 | 47.48 | 220 |
| G75B | 49.61 | -13.51 | -44.85 | 46.85 | 253 |
| B | 41.78 | 1.1 | -44.7 | 44.72 | 271 |
| B25R | 29.34 | 24.33 | -44.47 | 50.7 | 299 |
| B50R | 40.78 | 60.78 | -20.18 | 64.05 | 342 |
| B75R | 48.06 | 71.56 | 13.77 | 72.87 | 11 |



ZG730-7F, 16stufige Reihen für konstanten CIELAB Buntton $38/360 = 0.105$ (rechts)

Eingabe: *rgb / cmv0 set(rgb/cmyk)color*

Ausgabe: keine Eingabeänderung

Eingabe: Farbmétrisches Offset-Reflektiv-System ORS18

für Buntton $h^* = lab^*h = 96/360 = 0.268$

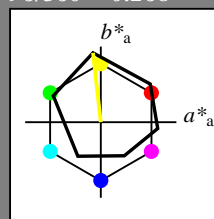
lab^*tch und lab^*nch

D65: Buntton Y

LCH*Ma: 90 92 96

olv*Ma: 1.0 1.0 0.0

Dreiecks-Helligkeit t^*



%Umfang

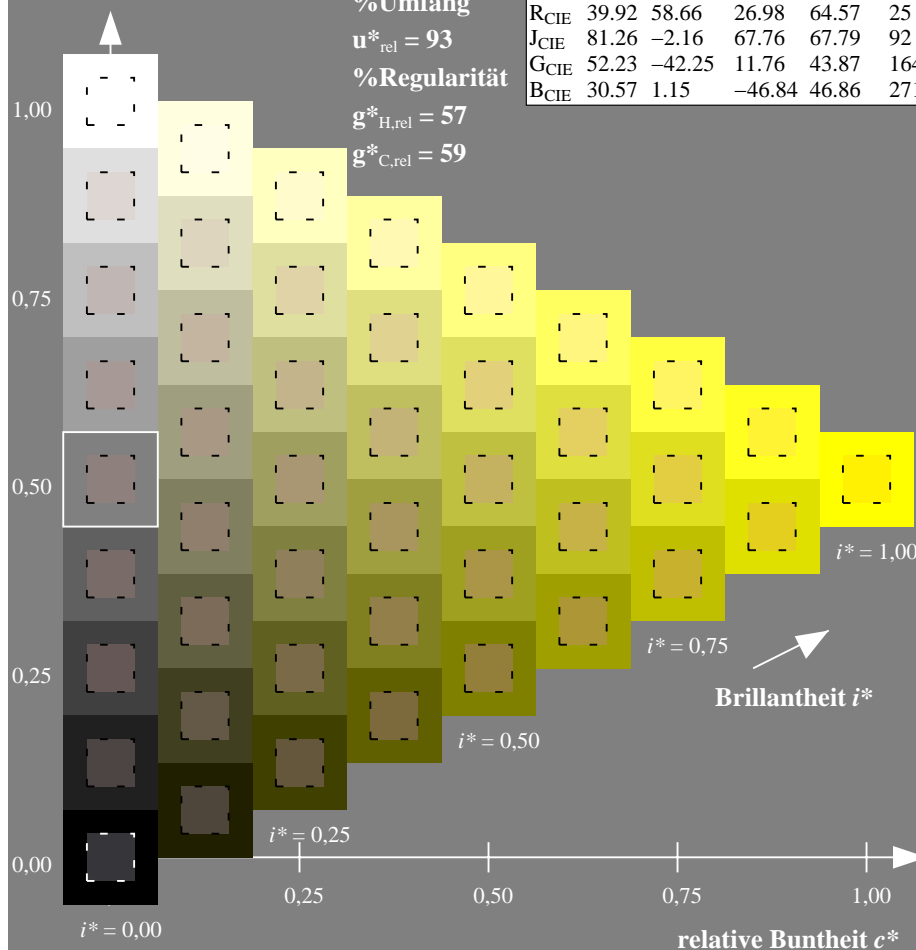
$u^*_{rel} = 93$

%Regularität

$g^*_{H,rel} = 57$

$g^*_{C,rel} = 59$

| ORS18; adaptierte CIELAB-Daten | $L^*=L^*_a$ | a^*_a | b^*_a | $C^*_{ab,a}$ | $h^*_{ab,a}$ |
|--------------------------------|-------------|---------|---------|--------------|--------------|
| O _{Ma} | 47.94 | 65.39 | 50.52 | 82.63 | 38 |
| Y _{Ma} | 90.37 | -10.26 | 91.75 | 92.32 | 96 |
| L _{Ma} | 50.9 | -62.83 | 34.96 | 71.91 | 151 |
| C _{Ma} | 58.62 | -30.34 | -45.01 | 54.3 | 236 |
| V _{Ma} | 25.72 | 31.1 | -44.4 | 54.22 | 305 |
| M _{Ma} | 48.13 | 75.28 | -8.36 | 75.74 | 354 |
| N _{Ma} | 18.01 | 0.0 | 0.0 | 0.0 | 0 |
| W _{Ma} | 95.41 | 0.0 | 0.0 | 0.0 | 0 |
| R _{CIE} | 39.92 | 58.66 | 26.98 | 64.57 | 25 |
| J _{CIE} | 81.26 | -2.16 | 67.76 | 67.79 | 92 |
| G _{CIE} | 52.23 | -42.25 | 11.76 | 43.87 | 164 |
| B _{CIE} | 30.57 | 1.15 | -46.84 | 46.86 | 271 |



Ausgabe: Farbmétrisches Offset-Reflektiv-System ORS18

für Buntton $h^* = lab^*h = 96/360 = 0.268$

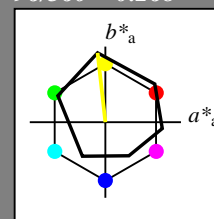
lab^*tch und lab^*nch

D65: Buntton Y

LCH*Ma: 90 92 96

olv*Ma: 1.0 1.0 0.0

Dreiecks-Helligkeit t^*



%Umfang

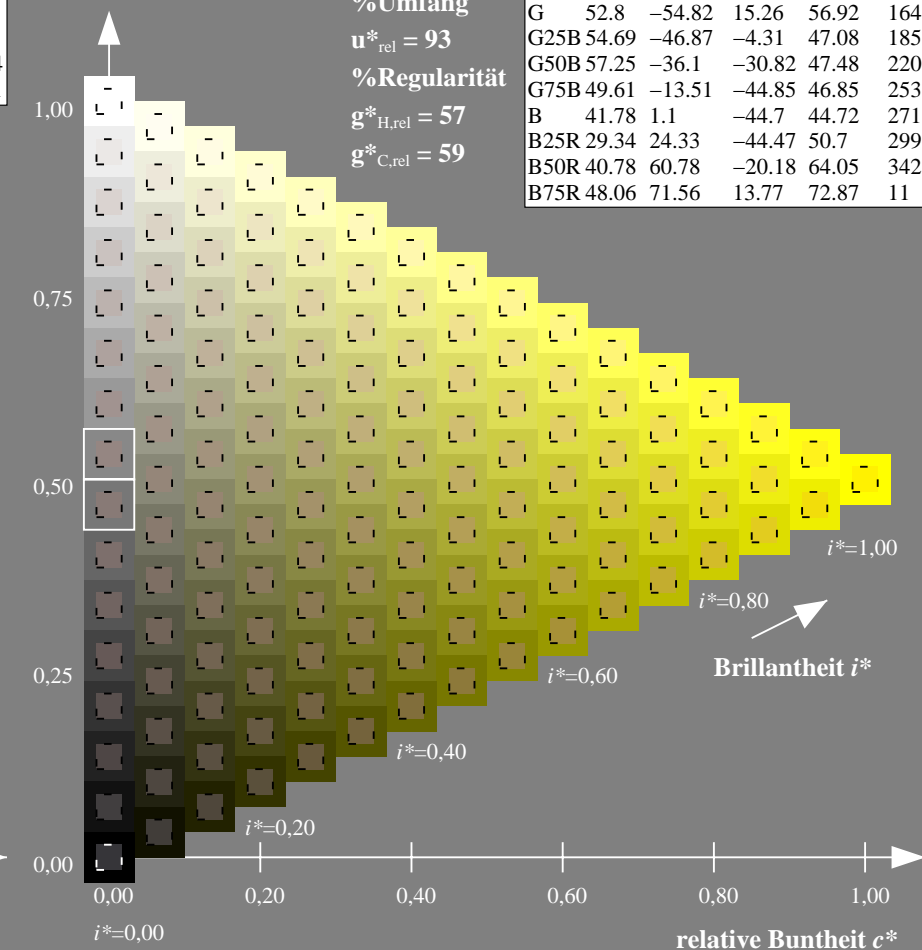
$u^*_{rel} = 93$

%Regularität

$g^*_{H,rel} = 57$

$g^*_{C,rel} = 59$

| ORS18; adaptierte CIELAB-Daten | $L^*=L^*_a$ | a^*_a | b^*_a | $C^*_{ab,a}$ | $h^*_{ab,a}$ |
|--------------------------------|-------------|---------|---------|--------------|--------------|
| R | 48.0 | 68.58 | 31.54 | 75.48 | 25 |
| R25J | 50.11 | 61.52 | 52.63 | 80.96 | 41 |
| R50J | 62.87 | 38.77 | 65.02 | 75.71 | 59 |
| R75J | 74.87 | 17.37 | 76.69 | 78.63 | 77 |
| J | 86.19 | -2.8 | 87.69 | 87.73 | 92 |
| J25G | 84.01 | -18.73 | 82.6 | 84.7 | 103 |
| J50G | 71.17 | -35.83 | 64.13 | 73.46 | 119 |
| J75G | 56.99 | -54.71 | 43.72 | 70.05 | 141 |
| G | 52.8 | -54.82 | 15.26 | 56.92 | 164 |
| G25B | 54.69 | -46.87 | -4.31 | 47.08 | 185 |
| G50B | 57.25 | -36.1 | -30.82 | 47.48 | 220 |
| G75B | 49.61 | -13.51 | -44.85 | 46.85 | 253 |
| B | 41.78 | 1.1 | -44.7 | 44.72 | 271 |
| B25R | 29.34 | 24.33 | -44.47 | 50.7 | 299 |
| B50R | 40.78 | 60.78 | -20.18 | 64.05 | 342 |
| B75R | 48.06 | 71.56 | 13.77 | 72.87 | 11 |



Eingabe: Farbmétrisches Offset-Reflektiv-System ORS18

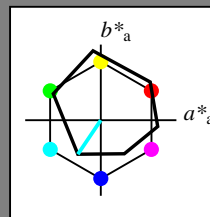
für Buntton $h^* = lab^*h = 236/360 = 0.656$

*lab*tch* und *lab*nch*

D65: Buntton C

LCH*Ma: 59 54 236

olv*Ma: 0.0 1.0 1.0

**ORS18; adaptierte CIELAB-Daten**

| | $L^* - L_a^*$ | a_a^* | b_a^* | $C_{ab,a}^*$ | $h_{ab,a}^*$ |
|------------------|---------------|---------|---------|--------------|--------------|
| O _{Ma} | 47.94 | 65.39 | 50.52 | 82.63 | 38 |
| Y _{Ma} | 90.37 | -10.26 | 91.75 | 92.32 | 96 |
| L _{Ma} | 50.9 | -62.83 | 34.96 | 71.91 | 151 |
| C _{Ma} | 58.62 | -30.34 | -45.01 | 54.3 | 236 |
| V _{Ma} | 25.72 | 31.1 | -44.4 | 54.22 | 305 |
| M _{Ma} | 48.13 | 75.28 | -8.36 | 75.74 | 354 |
| N _{Ma} | 18.01 | 0.0 | 0.0 | 0.0 | 0 |
| W _{Ma} | 95.41 | 0.0 | 0.0 | 0.0 | 0 |
| R _{CIE} | 39.92 | 58.66 | 26.98 | 64.57 | 25 |
| J _{CIE} | 81.26 | -2.16 | 67.76 | 67.79 | 92 |
| G _{CIE} | 52.23 | -42.25 | 11.76 | 43.87 | 164 |
| B _{CIE} | 30.57 | 1.15 | -46.84 | 46.86 | 271 |

Dreiecks-Helligkeit t^*

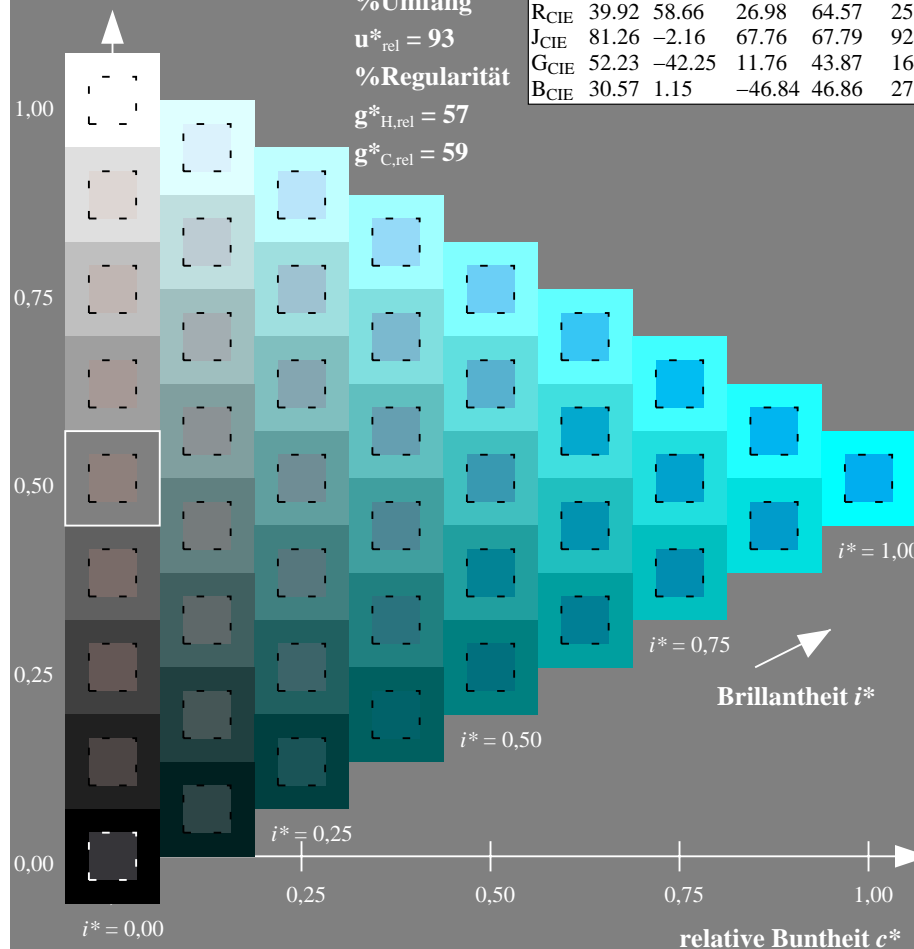
%Umfang

$$\mathbf{u}_{\text{rel}}^* = 93$$

%Regularität

$$g^*_{H,rel} = 57$$

$g^*_{C_{rel}} = 59$



ZG730–7F, 9stufige Reihen für konstanten CIELAB Buntton $236/360 = 0.656$ (links)

Seite 4/10

BAM-Prüfvorlage ZG73: Farbmatrik-Systeme, Seite 4/10

D65: 9 und 16stufige Farbreihen für 10 Bunttöne

Ausgabe: Farbmétrisches Offset-Reflektiv-System ORS18

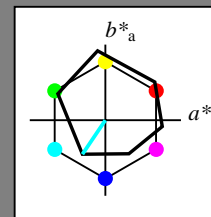
für Buntton $h^* = lab^*h = 236/360 = 0.656$

*lab*tch* und *lab*nch*

D65: Buntton C

LCH*Ma: 59 54 236

olv*Ma: 0.0 1.0 1.0

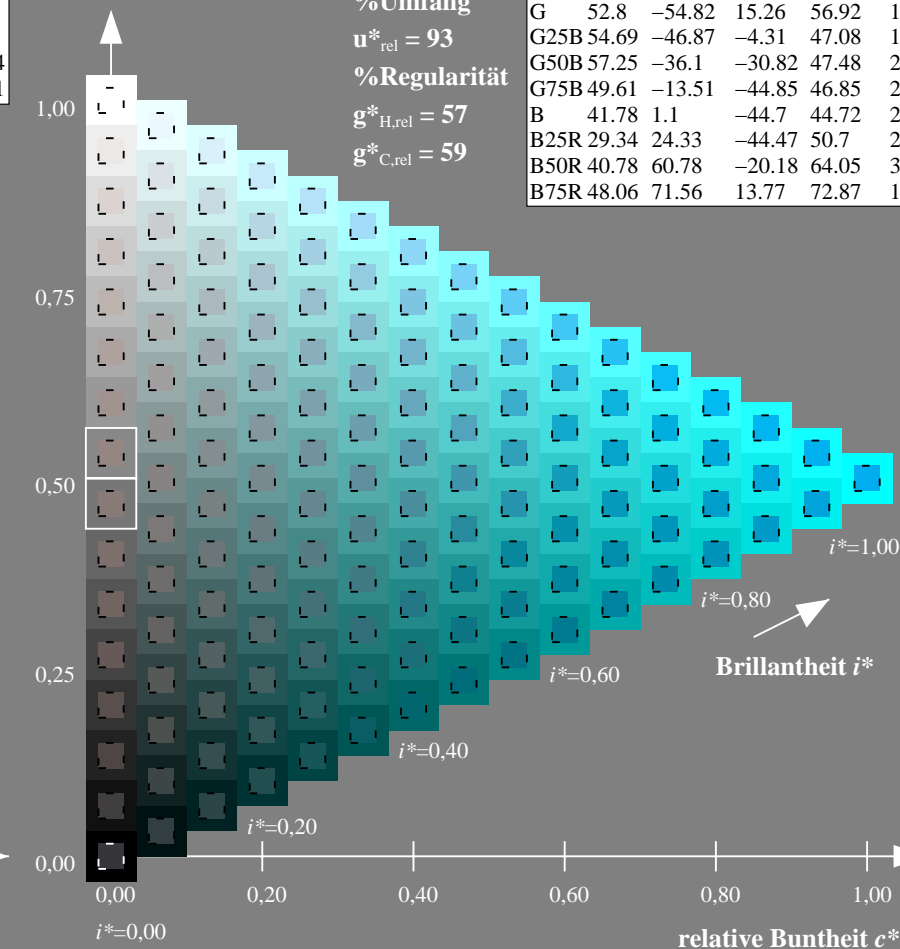


Dreiecks-Helligkeit t^*

%Umfang

$$\mathbf{u}_{\text{rel}}^* = 93$$

%Regularität

$$g^*_{H,rel} = 57$$
$$g^*_{C,rel} = 59$$


ZG730-7F, 16stufige Reihen für konstanten CIELAB Buntton $236/360 = 0.656$ (rechts)

4/10 Eingabe: *rgb / cmv0 set(rgb/cmyk)color*

Ausgabe: keine Eingabeänderung

Eingabe: Farbmimetrisches Offset-Reflektiv-System ORS18

für Buntton $h^* = lab^*h = 305/360 = 0.847$

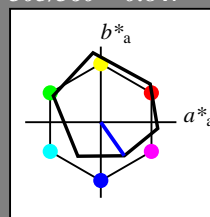
lab^*tch und lab^*nch

D65: Buntton V

LCH*Ma: 26 54 305

olv*Ma: 0.0 0.0 1.0

Dreiecks-Helligkeit t^*



%Umfang

$u^*_{rel} = 93$

%Regularität

$g^*_{H,rel} = 57$

$g^*_{C,rel} = 59$

ORS18; adaptierte CIELAB-Daten

| | $L^*=L^*_a$ | a^*_a | b^*_a | $C^*_{ab,a}$ | $h^*_{ab,a}$ |
|------------------|-------------|---------|---------|--------------|--------------|
| O _{Ma} | 47.94 | 65.39 | 50.52 | 82.63 | 38 |
| Y _{Ma} | 90.37 | -10.26 | 91.75 | 92.32 | 96 |
| L _{Ma} | 50.9 | -62.83 | 34.96 | 71.91 | 151 |
| C _{Ma} | 58.62 | -30.34 | -45.01 | 54.3 | 236 |
| V _{Ma} | 25.72 | 31.1 | -44.4 | 54.22 | 305 |
| M _{Ma} | 48.13 | 75.28 | -8.36 | 75.74 | 354 |
| N _{Ma} | 18.01 | 0.0 | 0.0 | 0.0 | 0 |
| W _{Ma} | 95.41 | 0.0 | 0.0 | 0.0 | 0 |
| R _{CIE} | 39.92 | 58.66 | 26.98 | 64.57 | 25 |
| J _{CIE} | 81.26 | -2.16 | 67.76 | 67.79 | 92 |
| G _{CIE} | 52.23 | -42.25 | 11.76 | 43.87 | 164 |
| B _{CIE} | 30.57 | 1.15 | -46.84 | 46.86 | 271 |

Ausgabe: Farbmimetrisches Offset-Reflektiv-System ORS18

für Buntton $h^* = lab^*h = 305/360 = 0.847$

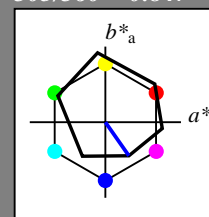
lab^*tch und lab^*nch

D65: Buntton V

LCH*Ma: 26 54 305

olv*Ma: 0.0 0.0 1.0

Dreiecks-Helligkeit t^*



%Umfang

$u^*_{rel} = 93$

%Regularität

$g^*_{H,rel} = 57$

$g^*_{C,rel} = 59$

ORS18; adaptierte CIELAB-Daten

| | $L^*=L^*_a$ | a^*_a | b^*_a | $C^*_{ab,a}$ | $h^*_{ab,a}$ |
|------|-------------|---------|---------|--------------|--------------|
| R | 48.0 | 68.58 | 31.54 | 75.48 | 25 |
| R25J | 50.11 | 61.52 | 52.63 | 80.96 | 41 |
| R50J | 62.87 | 38.77 | 65.02 | 75.71 | 59 |
| R75J | 74.87 | 17.37 | 76.69 | 78.63 | 77 |
| J | 86.19 | -2.8 | 87.69 | 87.73 | 92 |
| J25G | 84.01 | -18.73 | 82.6 | 84.7 | 103 |
| J50G | 71.17 | -35.83 | 64.13 | 73.46 | 119 |
| J75G | 56.99 | -54.71 | 43.72 | 70.05 | 141 |
| G | 52.8 | -54.82 | 15.26 | 56.92 | 164 |
| G25B | 54.69 | -46.87 | -4.31 | 47.08 | 185 |
| G50B | 57.25 | -36.1 | -30.82 | 47.48 | 220 |
| G75B | 49.61 | -13.51 | -44.85 | 46.85 | 253 |
| B | 41.78 | 1.1 | -44.7 | 44.72 | 271 |
| B25R | 29.34 | 24.33 | -44.47 | 50.7 | 299 |
| B50R | 40.78 | 60.78 | -20.18 | 64.05 | 342 |
| B75R | 48.06 | 71.56 | 13.77 | 72.87 | 11 |

%Umfang

$u^*_{rel} = 93$

%Regularität

$g^*_{H,rel} = 57$

$g^*_{C,rel} = 59$

%Umfang

$u^*_{rel} = 93$

%Regularität

$g^*_{H,rel} = 57$

$g^*_{C,rel} = 59$

%Umfang

$u^*_{rel} = 93$

%Regularität

$g^*_{H,rel} = 57$

$g^*_{C,rel} = 59$

%Umfang

$u^*_{rel} = 93$

%Regularität

$g^*_{H,rel} = 57$

$g^*_{C,rel} = 59$

%Umfang

$u^*_{rel} = 93$

%Regularität

$g^*_{H,rel} = 57$

$g^*_{C,rel} = 59$

%Umfang

$u^*_{rel} = 93$

%Regularität

$g^*_{H,rel} = 57$

$g^*_{C,rel} = 59$

%Umfang

$u^*_{rel} = 93$

%Regularität

$g^*_{H,rel} = 57$

$g^*_{C,rel} = 59$

%Umfang

$u^*_{rel} = 93$

%Regularität

$g^*_{H,rel} = 57$

$g^*_{C,rel} = 59$

%Umfang

$u^*_{rel} = 93$

%Regularität

$g^*_{H,rel} = 57$

$g^*_{C,rel} = 59$

%Umfang

$u^*_{rel} = 93$

%Regularität

$g^*_{H,rel} = 57$

$g^*_{C,rel} = 59$

%Umfang

$u^*_{rel} = 93$

%Regularität

$g^*_{H,rel} = 57$

$g^*_{C,rel} = 59$

%Umfang

$u^*_{rel} = 93$

%Regularität

$g^*_{H,rel} = 57$

$g^*_{C,rel} = 59$

%Umfang

$u^*_{rel} = 93$

%Regularität

$g^*_{H,rel} = 57$

$g^*_{C,rel} = 59$

%Umfang

$u^*_{rel} = 93$

%Regularität

$g^*_{H,rel} = 57$

$g^*_{C,rel} = 59$

%Umfang

$u^*_{rel} = 93$

%Regularität

$g^*_{H,rel} = 57$

$g^*_{C,rel} = 59$

%Umfang

$u^*_{rel} = 93$

%Regularität

$g^*_{H,rel} = 57$

$g^*_{C,rel} = 59$

%Umfang

$u^*_{rel} = 93$

%Regularität

$g^*_{H,rel} = 57$

$g^*_{C,rel} = 59$

%Umfang

$u^*_{rel} = 93$

%Regularität

$g^*_{H,rel} = 57$

$g^*_{C,rel} = 59$

%Umfang

$u^*_{rel} = 93$

%Regularität

$g^*_{H,rel} = 57$

$g^*_{C,rel} = 59$

%Umfang

$u^*_{rel} = 93$

%Regularität

$g^*_{H,rel} = 57$

$g^*_{C,rel} = 59$

%Umfang

$u^*_{rel} = 93$

%Regularität

$g^*_{H,rel} = 57$

$g^*_{C,rel} = 59$

%Umfang

$u^*_{rel} = 93$

%Regularität

$g^*_{H,rel} = 57$

$g^*_{C,rel} = 59$

%Umfang

$u^*_{rel} = 93$

%Regularität

$g^*_{H,rel} = 57$

$g^*_{C,rel} = 59$

%Umfang

$u^*_{rel} = 93$

%Regularität

$g^*_{H,rel} = 57$

$g^*_{C,rel} = 59$

%Umfang

$u^*_{rel} = 93$

%Regularität

$g^*_{H,rel} = 57$

$g^*_{C,rel} = 59$

%Umfang

$u^*_{rel} = 93$

%Regularität

$g^*_{H,rel} = 57$

$g^*_{C,rel} = 59$

%Umfang

$u^*_{rel} = 93$

%Regularität

$g^*_{H,rel} = 57$

$g^*_{C,rel} = 59$

%Umfang

$u^*_{rel} = 93$

%Regularität

$g^*_{H,rel} = 57$

$g^*_{C,rel} = 59$

%Umfang

$u^*_{rel} = 93$

%Regularität

$g^*_{H,rel} = 57$

$g^*_{C,rel} = 59$

%Umfang

$u^*_{rel} = 93$

%Regularität

$g^*_{H,rel} = 57$

$g^*_{C,rel} = 59$

%Umfang

$u^*_{rel} = 93$

%Regularität

$g^*_{H,rel} = 57$

$g^*_{C,rel} = 59$

%Umfang

$u^*_{rel} = 93$

%Regularität

$g^*_{H,rel} = 57$

$g^*_{C,rel} = 59$

%Umfang

$u^*_{rel} = 93$

%Regularität

$g^*_{H,rel} = 57$

$g^*_{C,rel} = 59$

%Umfang

$u^*_{rel} = 93$

%Regularität

$g^*_{H,rel} = 57$

$g^*_{C,rel} = 59$

%Umfang

$u^*_{rel} = 93$

%Regularität

$g^*_{H,rel} = 57$

$g^*_{C,rel} = 59$

%Umfang

$u^*_{rel} = 93$

%Regularität

$g^*_{H,rel} = 57$

$g^*_{C,rel} = 59$

%Umfang

$u^*_{rel} = 93$

%Regularität

$g^*_{H,rel} = 57$

$g^*_{C,rel} = 59$

%Umfang

$u^*_{rel} = 93$

%Regularität

$g^*_{H,rel} = 57$

$g^*_{C,rel} = 59$

%Umfang

$u^*_{rel} = 93$

%Regularität

$g^*_{H,rel} = 57$

$g^*_{C,rel} = 59$

%Umfang

$u^*_{rel} = 93$

%Regularität

$g^*_{H,rel} = 57$

Eingabe: Farbmimetrisches Offset-Reflektiv-System ORS18

für Buntton $h^* = lab^*h = 354/360 = 0.982$

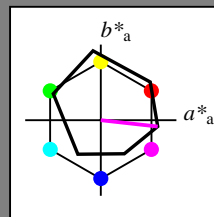
lab^*tch und lab^*nch

D65: Buntton M

LCH*Ma: 48 76 354

olv*Ma: 1.0 0.0 1.0

Dreiecks-Helligkeit t^*



%Umfang

$u^*_{rel} = 93$

%Regularität

$g^*_{H,rel} = 57$

$g^*_{C,rel} = 59$

ORS18; adaptierte CIELAB-Daten

| | $L^*=L^*_a$ | a^*_a | b^*_a | $C^*_{ab,a}$ | $h^*_{ab,a}$ |
|------------------|-------------|---------|---------|--------------|--------------|
| O _{Ma} | 47.94 | 65.39 | 50.52 | 82.63 | 38 |
| Y _{Ma} | 90.37 | -10.26 | 91.75 | 92.32 | 96 |
| L _{Ma} | 50.9 | -62.83 | 34.96 | 71.91 | 151 |
| C _{Ma} | 58.62 | -30.34 | -45.01 | 54.3 | 236 |
| V _{Ma} | 25.72 | 31.1 | -44.4 | 54.22 | 305 |
| M _{Ma} | 48.13 | 75.28 | -8.36 | 75.74 | 354 |
| N _{Ma} | 18.01 | 0.0 | 0.0 | 0.0 | 0 |
| W _{Ma} | 95.41 | 0.0 | 0.0 | 0.0 | 0 |
| R _{CIE} | 39.92 | 58.66 | 26.98 | 64.57 | 25 |
| J _{CIE} | 81.26 | -2.16 | 67.76 | 67.79 | 92 |
| G _{CIE} | 52.23 | -42.25 | 11.76 | 43.87 | 164 |
| B _{CIE} | 30.57 | 1.15 | -46.84 | 46.86 | 271 |

Ausgabe: Farbmimetrisches Offset-Reflektiv-System ORS18

für Buntton $h^* = lab^*h = 354/360 = 0.982$

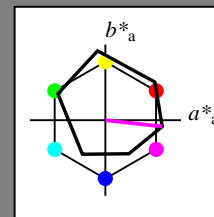
lab^*tch und lab^*nch

D65: Buntton M

LCH*Ma: 48 76 354

olv*Ma: 1.0 0.0 1.0

Dreiecks-Helligkeit t^*



%Umfang

$u^*_{rel} = 93$

%Regularität

$g^*_{H,rel} = 57$

$g^*_{C,rel} = 59$

ORS18; adaptierte CIELAB-Daten

| | $L^*=L^*_a$ | a^*_a | b^*_a | $C^*_{ab,a}$ | $h^*_{ab,a}$ |
|------|-------------|---------|---------|--------------|--------------|
| R | 48.0 | 68.58 | 31.54 | 75.48 | 25 |
| R25J | 50.11 | 61.52 | 52.63 | 80.96 | 41 |
| R50J | 62.87 | 38.77 | 65.02 | 75.71 | 59 |
| R75J | 74.87 | 17.37 | 76.69 | 78.63 | 77 |
| J | 86.19 | -2.8 | 87.69 | 87.73 | 92 |
| J25G | 84.01 | -18.73 | 82.6 | 84.7 | 103 |
| J50G | 71.17 | -35.83 | 64.13 | 73.46 | 119 |
| J75G | 56.99 | -54.71 | 43.72 | 70.05 | 141 |
| G | 52.8 | -54.82 | 15.26 | 56.92 | 164 |
| G25B | 54.69 | -46.87 | -4.31 | 47.08 | 185 |
| G50B | 57.25 | -36.1 | -30.82 | 47.48 | 220 |
| G75B | 49.61 | -13.51 | -44.85 | 46.85 | 253 |
| B | 41.78 | 1.1 | -44.7 | 44.72 | 271 |
| B25R | 29.34 | 24.33 | -44.47 | 50.7 | 299 |
| B50R | 40.78 | 60.78 | -20.18 | 64.05 | 342 |
| B75R | 48.06 | 71.56 | 13.77 | 72.87 | 11 |

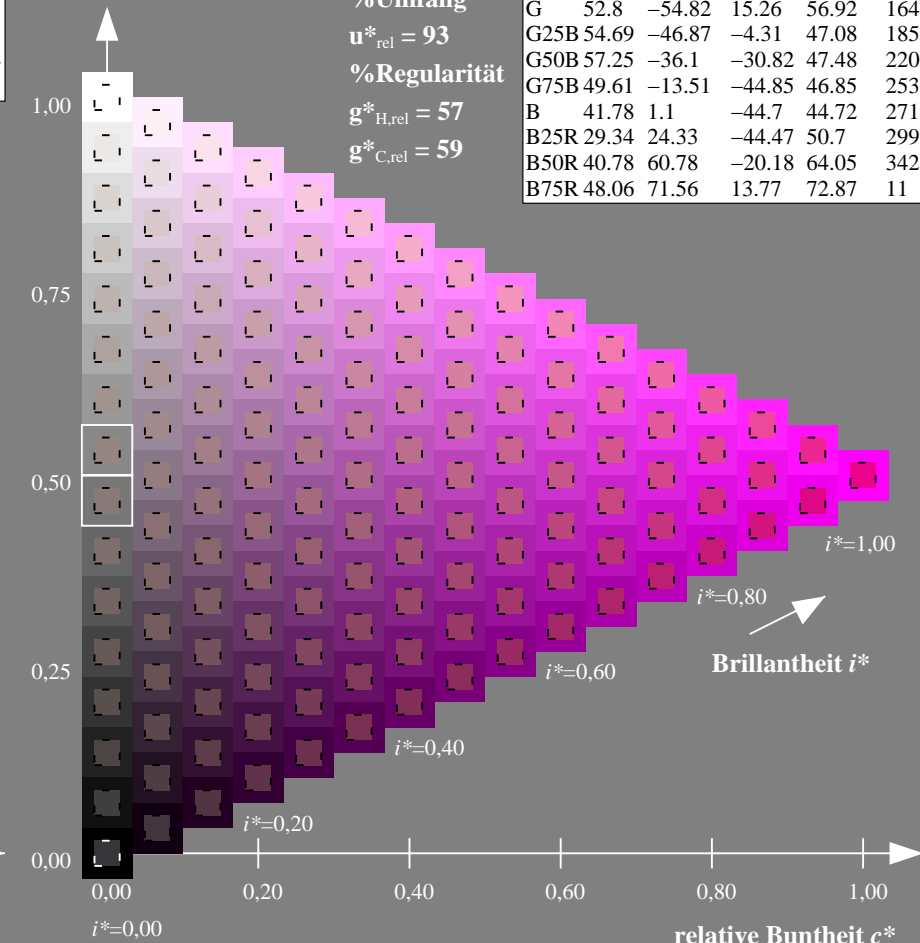
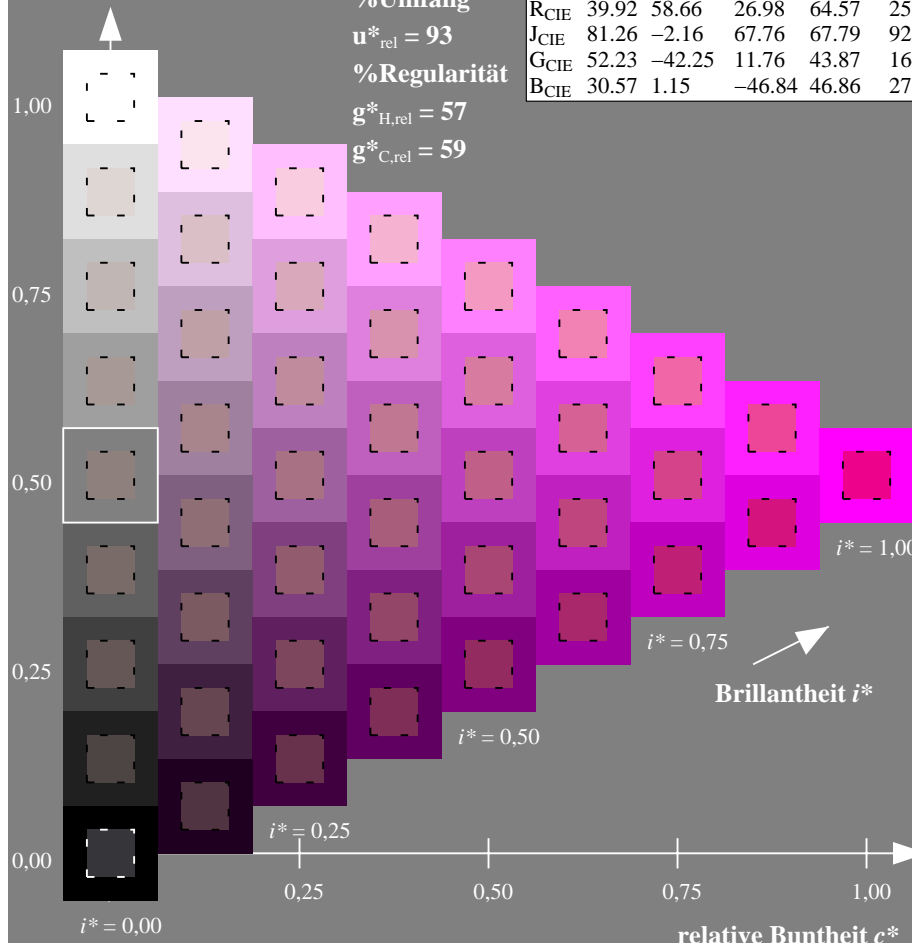
%Umfang

$u^*_{rel} = 93$

%Regularität

$g^*_{H,rel} = 57$

$g^*_{C,rel} = 59$



ZG730-7F, 9stufige Reihen für konstanten CIELAB Buntton 354/360 = 0.982 (links)

Seite 6/10

ZG730-7F, 16stufige Reihen für konstanten CIELAB Buntton 354/360 = 0.982 (rechts)

BAM-Prüfvorlage ZG73; Farbmimetrik-Systeme, Seite 6/10

D65: 9 und 16stufige Farbreihen für 10 Bunttöne

Eingabe: $rgb / cmy0 set(rgb/cmyk)color$

Ausgabe: keine Eingabeänderung

Eingabe: Farbmimetrisches Offset-Reflektiv-System ORS18

für Buntton $h^* = lab^*h = 25/360 = 0.069$

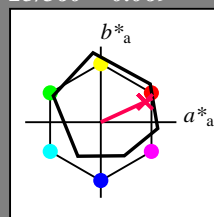
lab^*tch und lab^*nch

D65: Buntton R

LCH*Ma: 48 75 25

olv*Ma: 1.0 0.0 0.32

Dreiecks-Helligkeit t^*



%Umfang

$u^*_{rel} = 93$

%Regularität

$g^*_{H,rel} = 57$

$g^*_{C,rel} = 59$

| ORS18; adaptierte CIELAB-Daten | $L^*=L^*_a$ | a^*_a | b^*_a | $C^*_{ab,a}$ | $h^*_{ab,a}$ |
|--------------------------------|-------------|---------|---------|--------------|--------------|
| O _{Ma} | 47.94 | 65.39 | 50.52 | 82.63 | 38 |
| Y _{Ma} | 90.37 | -10.26 | 91.75 | 92.32 | 96 |
| L _{Ma} | 50.9 | -62.83 | 34.96 | 71.91 | 151 |
| C _{Ma} | 58.62 | -30.34 | -45.01 | 54.3 | 236 |
| V _{Ma} | 25.72 | 31.1 | -44.4 | 54.22 | 305 |
| M _{Ma} | 48.13 | 75.28 | -8.36 | 75.74 | 354 |
| N _{Ma} | 18.01 | 0.0 | 0.0 | 0.0 | 0 |
| W _{Ma} | 95.41 | 0.0 | 0.0 | 0.0 | 0 |
| R _{CIE} | 39.92 | 58.66 | 26.98 | 64.57 | 25 |
| J _{CIE} | 81.26 | -2.16 | 67.76 | 67.79 | 92 |
| G _{CIE} | 52.23 | -42.25 | 11.76 | 43.87 | 164 |
| B _{CIE} | 30.57 | 1.15 | -46.84 | 46.86 | 271 |

Ausgabe: Farbmimetrisches Offset-Reflektiv-System ORS18

für Buntton $h^* = lab^*h = 25/360 = 0.069$

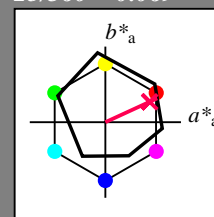
lab^*tch und lab^*nch

D65: Buntton R

LCH*Ma: 48 75 25

olv*Ma: 1.0 0.0 0.32

Dreiecks-Helligkeit t^*



%Umfang

$u^*_{rel} = 93$

%Regularität

$g^*_{H,rel} = 57$

$g^*_{C,rel} = 59$

| ORS18; adaptierte CIELAB-Daten | $L^*=L^*_a$ | a^*_a | b^*_a | $C^*_{ab,a}$ | $h^*_{ab,a}$ |
|--------------------------------|-------------|---------|---------|--------------|--------------|
| R | 48.0 | 68.58 | 31.54 | 75.48 | 25 |
| R25J | 50.11 | 61.52 | 52.63 | 80.96 | 41 |
| R50J | 62.87 | 38.77 | 65.02 | 75.71 | 59 |
| R75J | 74.87 | 17.37 | 76.69 | 78.63 | 77 |
| J | 86.19 | -2.8 | 87.69 | 87.73 | 92 |
| J25G | 84.01 | -18.73 | 82.6 | 84.7 | 103 |
| J50G | 71.17 | -35.83 | 64.13 | 73.46 | 119 |
| J75G | 56.99 | -54.71 | 43.72 | 70.05 | 141 |
| G | 52.8 | -54.82 | 15.26 | 56.92 | 164 |
| G25B | 54.69 | -46.87 | -4.31 | 47.08 | 185 |
| G50B | 57.25 | -36.1 | -30.82 | 47.48 | 220 |
| G75B | 49.61 | -13.51 | -44.85 | 46.85 | 253 |
| B | 41.78 | 1.1 | -44.7 | 44.72 | 271 |
| B25R | 29.34 | 24.33 | -44.47 | 50.7 | 299 |
| B50R | 40.78 | 60.78 | -20.18 | 64.05 | 342 |
| B75R | 48.06 | 71.56 | 13.77 | 72.87 | 11 |

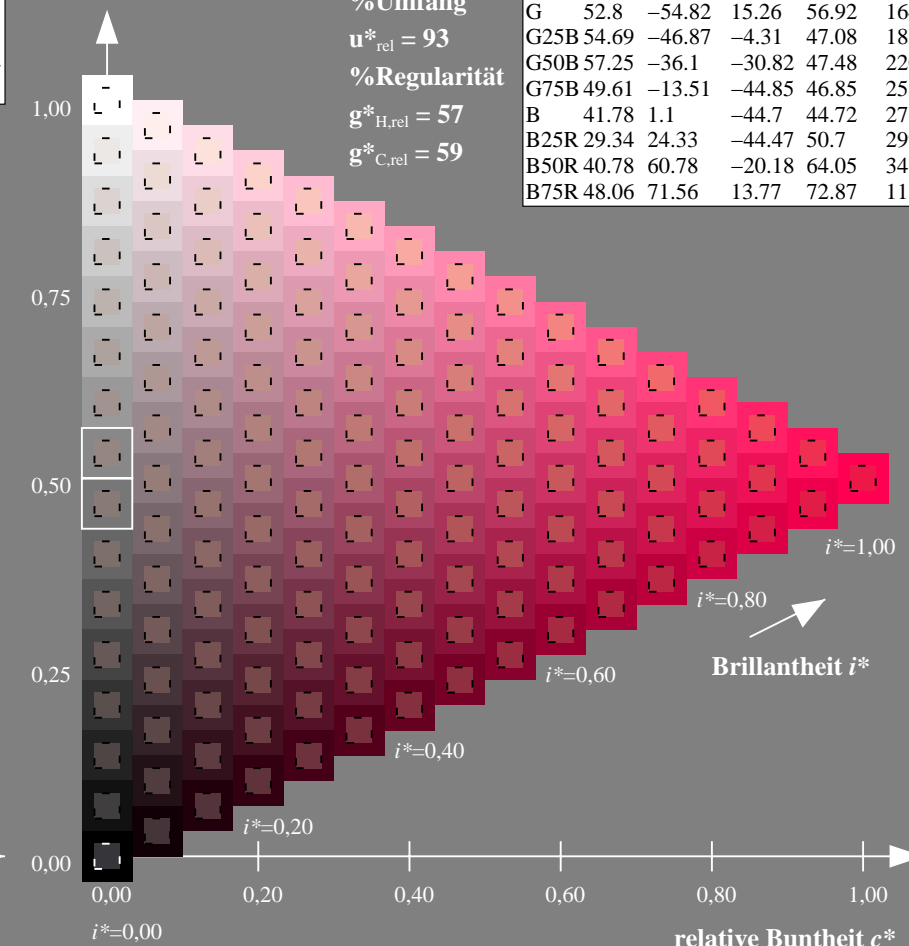
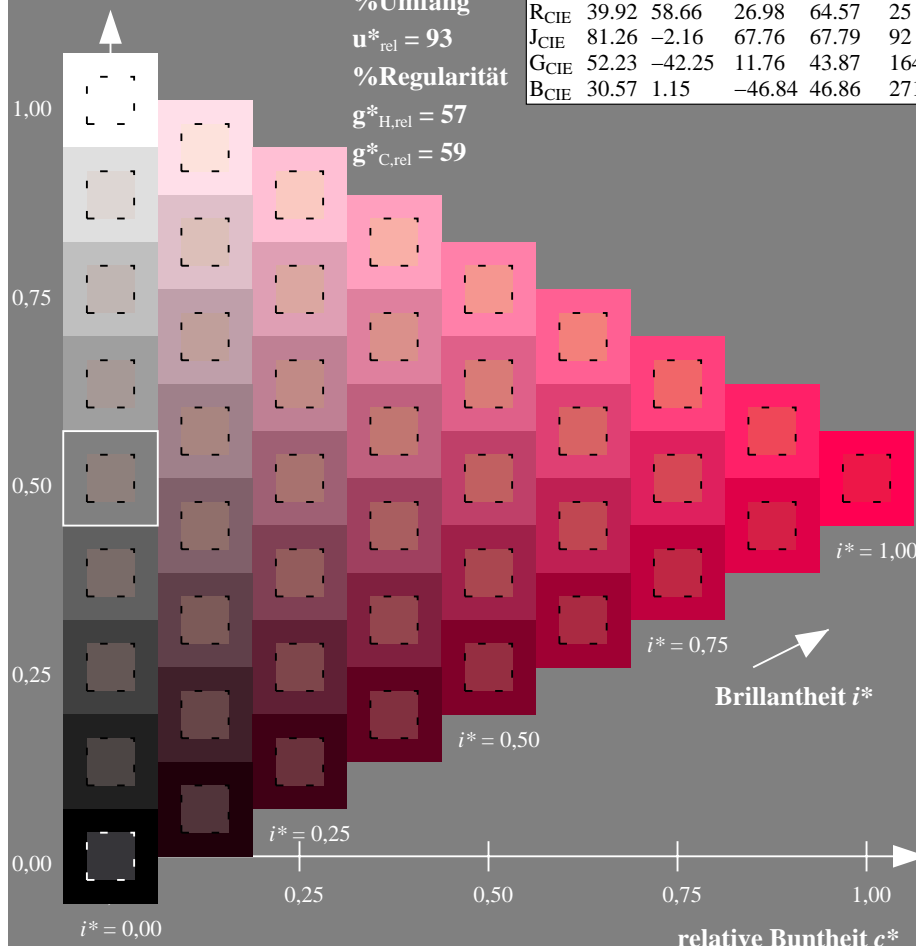
%Umfang

$u^*_{rel} = 93$

%Regularität

$g^*_{H,rel} = 57$

$g^*_{C,rel} = 59$



ZG730-7F, 9stufige Reihen für konstanten CIELAB Buntton 25/360 = 0.069 (links)

Seite 7/10

ZG730-7F, 16stufige Reihen für konstanten CIELAB Buntton 25/360 = 0.069 (rechts)

BAM-Prüfvorlage ZG73; Farbmimetrik-Systeme, Seite 7/10
D65: 9 und 16stufige Farbreihen für 10 Bunttöne

Eingabe: $rgb / cmy0$ set($rgb/cmyk$)color
Ausgabe: keine Eingabeänderung

Eingabe: Farbmétrisches Offset-Reflektiv-System ORS18

für Buntton $h^* = lab^*h = 92/360 = 0.255$

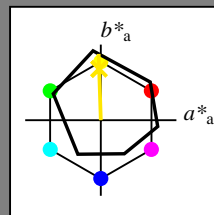
lab^*tch und lab^*nch

D65: Buntton J

LCH*Ma: 86 88 92

olv*Ma: 1.0 0.9 0.0

Dreiecks-Helligkeit t^*



%Umfang

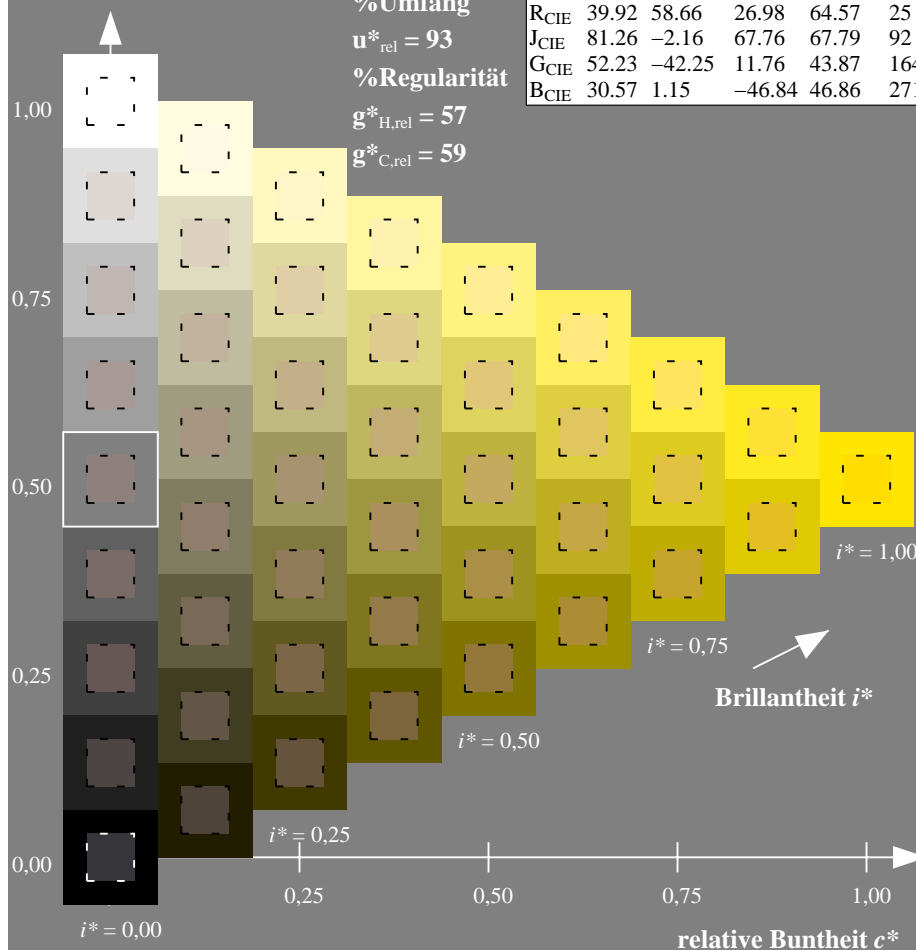
$u^*_{rel} = 93$

%Regularität

$g^*_{H,rel} = 57$

$g^*_{C,rel} = 59$

| ORS18; adaptierte CIELAB-Daten | $L^*=L^*_a$ | a^*_a | b^*_a | $C^*_{ab,a}$ | $h^*_{ab,a}$ |
|--------------------------------|-------------|---------|---------|--------------|--------------|
| OMa | 47.94 | 65.39 | 50.52 | 82.63 | 38 |
| YMa | 90.37 | -10.26 | 91.75 | 92.32 | 96 |
| LMa | 50.9 | -62.83 | 34.96 | 71.91 | 151 |
| CMa | 58.62 | -30.34 | -45.01 | 54.3 | 236 |
| VMa | 25.72 | 31.1 | -44.4 | 54.22 | 305 |
| MMa | 48.13 | 75.28 | -8.36 | 75.74 | 354 |
| NMa | 18.01 | 0.0 | 0.0 | 0.0 | 0 |
| WMa | 95.41 | 0.0 | 0.0 | 0.0 | 0 |
| RCIE | 39.92 | 58.66 | 26.98 | 64.57 | 25 |
| JCIE | 81.26 | -2.16 | 67.76 | 67.79 | 92 |
| GCIE | 52.23 | -42.25 | 11.76 | 43.87 | 164 |
| BCIE | 30.57 | 1.15 | -46.84 | 46.86 | 271 |



Ausgabe: Farbmétrisches Offset-Reflektiv-System ORS18

für Buntton $h^* = lab^*h = 92/360 = 0.255$

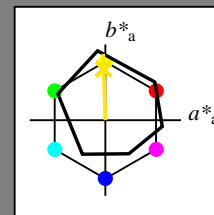
lab^*tch und lab^*nch

D65: Buntton J

LCH*Ma: 86 88 92

olv*Ma: 1.0 0.9 0.0

Dreiecks-Helligkeit t^*



%Umfang

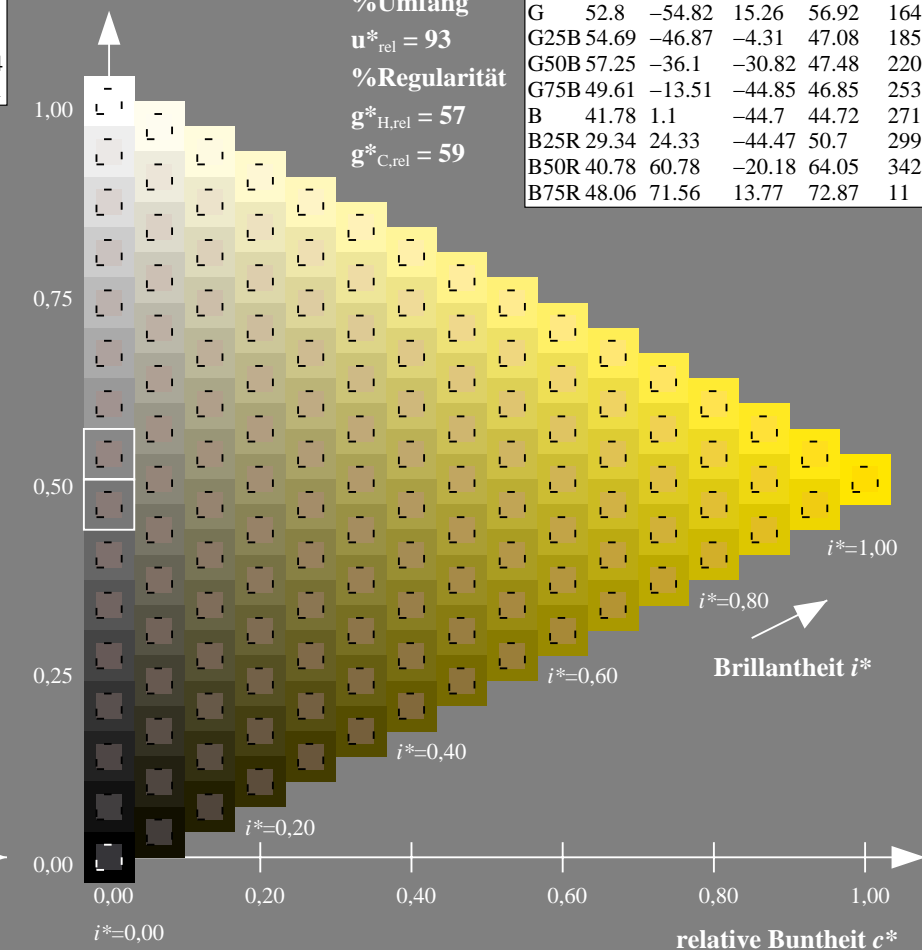
$u^*_{rel} = 93$

%Regularität

$g^*_{H,rel} = 57$

$g^*_{C,rel} = 59$

| ORS18; adaptierte CIELAB-Daten | $L^*=L^*_a$ | a^*_a | b^*_a | $C^*_{ab,a}$ | $h^*_{ab,a}$ |
|--------------------------------|-------------|---------|---------|--------------|--------------|
| R | 48.0 | 68.58 | 31.54 | 75.48 | 25 |
| R25J | 50.11 | 61.52 | 52.63 | 80.96 | 41 |
| R50J | 62.87 | 38.77 | 65.02 | 75.71 | 59 |
| R75J | 74.87 | 17.37 | 76.69 | 78.63 | 77 |
| J | 86.19 | -2.8 | 87.69 | 87.73 | 92 |
| J25G | 84.01 | -18.73 | 82.6 | 84.7 | 103 |
| J50G | 71.17 | -35.83 | 64.13 | 73.46 | 119 |
| J75G | 56.99 | -54.71 | 43.72 | 70.05 | 141 |
| G | 52.8 | -54.82 | 15.26 | 56.92 | 164 |
| G25B | 54.69 | -46.87 | -4.31 | 47.08 | 185 |
| G50B | 57.25 | -36.1 | -30.82 | 47.48 | 220 |
| G75B | 49.61 | -13.51 | -44.85 | 46.85 | 253 |
| B | 41.78 | 1.1 | -44.7 | 44.72 | 271 |
| B25R | 29.34 | 24.33 | -44.47 | 50.7 | 299 |
| B50R | 40.78 | 60.78 | -20.18 | 64.05 | 342 |
| B75R | 48.06 | 71.56 | 13.77 | 72.87 | 11 |



ZG730-7F, 9stufige Reihen für konstanten CIELAB Buntton $92/360 = 0.255$ (links)

Seite 8/10

ZG730-7F, 16stufige Reihen für konstanten CIELAB Buntton $92/360 = 0.255$ (rechts)

BAM-Prüfvorlage ZG73; Farbmétrik-Systeme, Seite 8/10
D65: 9 und 16stufige Farbreihen für 10 Bunttöne

Eingabe: $rgb / cmy0 set(rgb/cmyk)color$
Ausgabe: keine Eingabeänderung

